

01; 04; 10

© 1991

ВОЗБУЖДЕНИЕ ЛЕНГМЮРОВСКИХ ВОЛН ЛЕНТОЧНЫМ РЕЛЯТИВИСТСКИМ ЭЛЕКТРОННЫМ ПУЧКОМ В ОДНОРОДНОЙ ЗАМАГНИЧЕННОЙ ТЕПЛОЙ ПЛАЗМЕ

Н.С. Гинзбург, И.В. Зотова,
А.С. Сергеев

В настоящее время широко исследуется индуцированное излучение поперечно-ограниченных электронных потоков в вакууме или однородных средах [1-7], когда такие потоки полностью формируют структуру излучаемого поля. При этом самосогласованная структура поля, как правило, оказывается более благоприятной для поддержания синхронизма и обеспечения глубокого торможения электронов, чем структуры, формируемые внешними волноводными системами. В данной работе построена теория возбуждения ленгмюровских волн ленточным релятивистским электронным пучком, инжектирующимся в однородную замагниченную теплую плазму. Найдены инкременты и пространственные структуры квазиповерхностных мод, возбуждаемых релятивистским электронным потоком на линейной стадии взаимодействия. Показана высокая (свыше 80%) эффективность трансформации энергии пучка в энергию плазменных колебаний на нелинейной стадии.

Пусть ленточный релятивистский электронный пучок инжектируется в однородную теплую плазму в плоскости $x = 0$ с поступательной скоростью $v_{||} = \beta_{||} c$, направленной вдоль оси z . В такой геометрии возбужденное электронным пучком поле плазменных волн будет иметь E_x , E_z и H_y компоненты. Исключая E_x и H_y , для продольной компоненты электрического поля из уравнений Максвелла имеем

$$\frac{\partial^3 E_z}{\partial x^2 \partial t} = \left[\frac{1}{c^2} \frac{\partial^2}{\partial t^2} - \frac{\partial^2}{\partial z^2} \right] \left[-\frac{\partial E_z}{\partial t} + 4\pi(j_p + j_b \delta(x)) \right], \quad (1)$$

где $\omega_p = \sqrt{4\pi e^2 n_p / m}$ - плазменная частота, $\delta(x)$ - дельта-функция, $j_{p,b}$ - плотности плазменного и электронного токов, для которых в линейном приближении из уравнений состояния имеем

$$\left(\frac{\partial^2}{\partial t^2} - v_T^2 \frac{\partial^2}{\partial z^2} \right) j_p = \frac{e^2 n_p}{m} \frac{\partial E_z}{\partial t}, \quad (2)$$

$$\left(\frac{\partial}{\partial t} + v_{||} \frac{\partial}{\partial z} \right)^2 j_b = \frac{e^2 n_b}{m \gamma_0^3} \frac{\partial E_z}{\partial t}. \quad (3)$$

Здесь $v_T = (T/m)^{1/2}$ - средняя тепловая скорость электронов плазмы, n_p - объемная плотность плазмы, σ_b - поверхностная плотность пучка, $\gamma_0 = (1 - v_{||}^2/c^2)^{-1/2}$ - релятивистский масс-фактор.

Представляя решение (1)-(3) в виде $E_z \sim e^{-i\mathcal{X}|\mathcal{X}|} e^{i(\omega t - kz)}$, где $\mathcal{X}^2 = \left(\frac{\omega_p^2}{\omega^2 - h^2 v_T^2} - 1 \right) (h^2 - k^2)$ - поперечное волновое число, приходим к дисперсионному уравнению

$$\frac{\mathcal{X}}{h^2 - k^2} = -i \frac{\omega_b^2}{2(\omega - h v_{||})^2}, \quad (4)$$

где $\omega_b = \sqrt{4\pi e^2 \sigma_b / m \gamma_0^3}$.

В дальнейшем, для определенности, будем рассматривать случай пространственного усиления. Тогда, представляя решение (3) в виде $h = \omega/v_{||} (1 - \Gamma)$, где $\Gamma \ll 1$, при дополнительном условии

$$\Gamma \ll \gamma_0^{-2} \beta_{||}^{-2} \quad (5)$$

приведем дисперсионное уравнение к форме

$$\hat{\mathcal{X}} (\hat{\delta} - \hat{\mathcal{X}}^2)^2 = -i, \quad \hat{\Gamma} = \hat{\delta} - \hat{\mathcal{X}}^2, \quad (6)$$

где $\hat{\Gamma} = \Gamma/G$, $\hat{\mathcal{X}} = \mathcal{X} / \left(\frac{\omega_p}{v_{||}} \beta_T G \right)$, $\hat{\delta} = 1 - \left(\frac{\omega}{\omega_p} \right)^2 + \beta_T^2$, $\hat{\delta} = \delta/G$, $G = \left(\frac{\omega_b^2 \gamma_0^{-1} \beta_{||}^{-1}}{\sqrt{2} \omega_p \beta_T c} \right)^{2/5}$.

Условие (5) выполнено для разреженных пучков $G \ll \gamma_0^{-2} \beta_{||}^{-2}$.

Решение (6) легко находится при $\hat{\delta} = 0$:

$$\hat{\mathcal{X}}_n = e^{-i\pi/10 + i2\pi/5(n-1)}, \quad \hat{\Gamma}_n = e^{i4\pi/5 + i4\pi/5(n-1)}, \quad n = 1 \dots 5. \quad (7)$$

Очевидно, $n = 4$ соответствует нарастающей ($\text{Im} \hat{\Gamma} < 0$) локализованной волне ($\text{Im} \hat{\mathcal{X}} < 0$) с поперечным потоком энергии, направленным от пучка к периферии ($\text{Re} \hat{\mathcal{X}} < 0$). Зависимости мнимых и действительных частей продольных и поперечных волновых чисел усиливающейся моды от параметра $\hat{\delta}$ приведены на рис. 1. Мнимая часть продольного волнового числа (инкремент) достигает максимума при $\hat{\delta} \sim -1$ и при больших $\hat{\delta}$ ($\hat{\delta} \gg 1$) постепенно уменьшается $|\text{Im} \hat{\Gamma}| \sim \hat{\delta}^{-1/4}$. При этом действительная часть поперечного волнового числа увеличивается с ростом $\hat{\delta}$: $|\text{Re} \hat{\mathcal{X}}| \sim \hat{\delta}^{1/2}$, а мнимая уменьшается: $|\text{Im} \hat{\mathcal{X}}| \sim \hat{\delta}^{-3/4}$, то есть имеет место увеличение поперечного масштаба собственной моды, сопровождающееся одновременным увеличением поперечного потока энергии. Подобная асимптотика соответствует переходу к режиму излучения косых ленгмюровских волн, фазовая скорость которых в направлении оси z совпадает с поступательной скоростью электронов ($|\text{Re} \hat{\Gamma}| \sim \hat{\delta}^{-3/2}$). Тепловое движение электронов плазмы при $\hat{\delta} \gg \beta_T^2$ несущественно.

При исследовании нелинейной стадии взаимодействия будем считать плазму линейной средой, а нелинейным предполагать движение электронов пучка, резонансных излучаемой волне. Тогда для ультрарелятивистских электронных пучков ($\gamma_0 \gg 1$) уравнения движения частиц могут быть представлены в виде

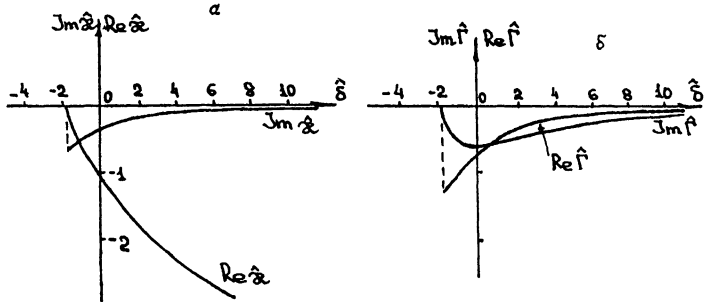


Рис. 1. Зависимости мнимых и действительных частей поперечных (а) и продольных (б) волновых чисел от параметра δ .

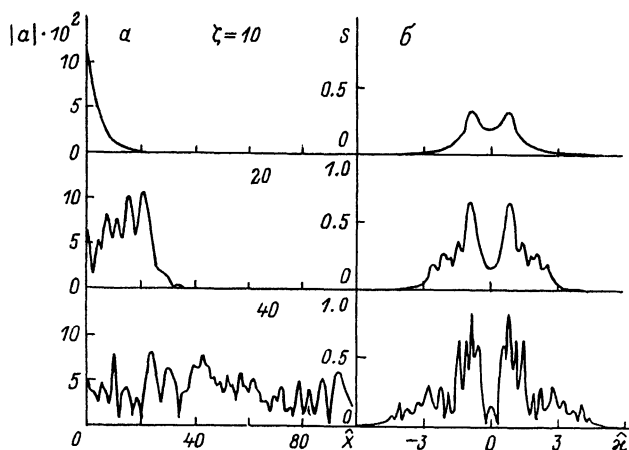


Рис. 2. Эволюция (а) поперечного распределения модуля амплитуды волнового пучка и (б) спектра поля: $\delta = 0$, $I = 0.1$.

$$\frac{d\tilde{\epsilon}}{d\zeta} = \text{Re}(a e^{i\nu\tilde{\epsilon}}), \quad \frac{d\nu\tilde{\epsilon}}{d\zeta} = \tilde{\epsilon}^{-2} - 1 \quad (8)$$

с граничными условиями $\nu\tilde{\epsilon}(\zeta=0) = \nu\tilde{\epsilon}_0 + r \cos \nu\tilde{\epsilon}_0$, $\tilde{\epsilon}(\zeta=0) = 1$, $\nu\tilde{\epsilon}_0 \in [0, 2\pi]$. Здесь $\tilde{\epsilon} = \gamma/\gamma_0$ - нормированная энергия электронов, $\nu\tilde{\epsilon} = \omega_p t - hz$ - фаза электронов относительно синхронной волны, r - параметр, учитывающий начальную модуляцию плотности электронного потока, $\zeta = kz\gamma_0^{-2}/2$, $a = 2eE_z\gamma_0/mc\omega$.

Для получения уравнений возбуждения представим решение (1)-(3) в виде $E_z: j_b = \text{Re}(E(\alpha, z); j(z)e^{i(\omega t - h_0 z)})$, где E , j - медленно меняющиеся комплексные амплитуды. Тогда в соответствии с упрощениями дисперсионного уравнения (4) при выполнении условия (5) для относительно разреженных электронных пучков получаем при $\hat{\delta} = 0$

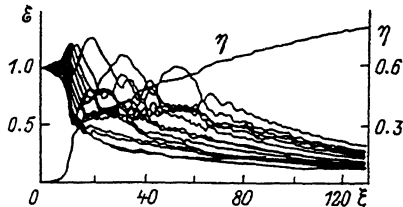


Рис. 3. Зависимость электронного КПД η и энергии частиц ϵ от длины взаимодействия: $\delta = 0$, $I = 0.1$.

$$i \frac{\partial^2 \alpha}{\partial \hat{\chi}^2} - \frac{\partial \alpha}{\partial \zeta} + i \tilde{\delta} \alpha = 2 I J \delta(\hat{\chi}), \quad J = (1/\pi) \int_0^{2\pi} e^{-i v \delta} d v_0, \quad (9)$$

где $\hat{\chi} = x k \beta_T \gamma_0^{-1}$, $I = \omega_0^2 / \omega_p c \beta_T$, $\tilde{\delta} = 2 \gamma_0^2 \delta$, $J = j / e \delta_0 v_{||}$.

Результаты численного моделирования уравнений (8)–(9) подтверждают, что на линейной стадии взаимодействия устанавливается структура поля, близкая к структуре локализованной нарастающей моды (рис. 2, а). На нелинейной стадии происходит расширение волнового пучка и обогащение углового спектра ($S_{\hat{\chi}} = \frac{1}{\sqrt{\pi}} \int_{-\infty}^{\infty} \alpha(\hat{\chi}, \zeta) e^{i \hat{\chi} \hat{\chi}} d \hat{\chi}$) компонентами, соответствующими косым волнам, распространяющимся под большими углами ψ к оси системы (рис. 2, б). Как нетрудно видеть, при увеличении ψ фазовая скорость плазменных волн ($V_{ph} = c(1 - \epsilon^2/h^2(-\epsilon_p))^{1/2}$) в замагниченной плазме в направлении оси Z уменьшается. Поэтому по мере торможения электроны взаимодействуют с более медленными компонентами поля, распространяющимися под большими углами. В результате возникает самоподдерживающийся синхронизм электронов с полем излучения и достигается высокая эффективность трансформации энергии РЭП в энергию плазменных волн. На рис. 3 электронный КПД $\eta = 1 - 1/2\pi \int_0^{2\pi} \delta d v_0$ превышает 80%. Заметим, что при взаимодействии РЭП с монохроматической волной, поперечная структура поля которой фиксируется внешней электродинамической системой, КПД ограничен 30% [8].

С п и с о к л и т е р а т у р ы

- [1] Гинзбург Н.С., Ковалев Н.Ф., Петелин М.И. В кн.: Релятивистская высокочастотная электроника. В. 6. Горький: ИПФ АН СССР, 1990. С. 5.
- [2] Гинзбург Н.С., Ковалев Н.Ф. // Письма в ЖТФ. 1987. Т. 13. В. 5. С. 234.
- [3] Гинзбург Н.С., Ковалев Н.Ф. // Письма в ЖТФ. 1990. Т. 16. В. 18. С. 33.
- [4] Гинзбург Н.С., Сергеев А.С. // Письма в ЖТФ. 1988. Т. 14. В. 20. С. 1844.

- [5] Карбушев Н.И., Шаткус А.Д. // Письма в ЖЭТФ. 1989. Т. 49. № 11. С. 594.
- [6] Карбушев Н.И. // Письма в ЖТФ. 1989. Т. 15. № 24. С. 93.
- [7] Качалов К.О., Попков Н.Г. // Физика плазмы. 1984. Т. 15. № 11. С. 1310.
- [8] Кузелев М.В., Рухадзе А.А. // Электродинамика плотных электронных пучков в плазме. М.: Наука, 1990.

Институт прикладной
физики АН СССР,
Нижний Новгород

Поступило в Редакцию
12 июня 1991 г.